

# نقش پل نمکی در سطح در دسترس باقیمانده های آمینواسیدی آنزیم $\alpha$ -آمیلاز *B. amyloliquefaciens* و اثر آن بر پایداری حرارتی با ایجاد فشردگی موضعی

رزیتا زنوزی<sup>۱\*</sup>، خسرو خواجه<sup>۲</sup>، مجید منجمی<sup>۳</sup>، ناصر قائمی<sup>۴</sup>

- ۱- دکتری بیوشیمی، گروه زیست‌شناسی، واحد علوم و تحقیقات، دانشگاه آزاد اسلامی، تهران، ایران  
۲- دانشیار بیوشیمی، گروه بیوشیمی، دانشکده علوم زیستی، دانشگاه تربیت مدرس، تهران، ایران  
۳- استاد شیمی، گروه شیمی، واحد علوم و تحقیقات، دانشگاه آزاد اسلامی، تهران، ایران  
۴- استادیار بیوشیمی، گروه بیوتکنولوژی، دانشکده علوم پایه، دانشگاه تهران، تهران، ایران

\* تهران، صندوق پستی ۱۶۵۳۵-۴۴۶

Roseata\_Zonouzi@yahoo.com

(دریافت مقاله: ۹۰/۱۲/۲۸ | پذیرش: ۹۱/۱/۱۹)

**چکیده** - باقیمانده های آمینواسیدی ۱۸۵ – ۱۷۷ (ناحیه I یا لوپ) در آنزیم  $\alpha$ -آمیلاز (BAA) بخشی از محفظه (Cage) اتصال به کلسیم را می‌سازد. لوپ موجود در BAA دو باقیمانده آمینواسیدی بیشتر از همتای گرمادوست خود یعنی  $\alpha$ -آمیلاز (BLA) *B. licheniformis* دارد و Arg<sub>176</sub> موجود در این بخش با Glu<sub>126</sub> ناحیه II (باقیمانده های آمینواسیدی ۱۳۱ – ۱۱۸) یک پل نمکی می‌سازد؛ این ارتباط در آنزیم BLA به خاطر جایگزینی های R<sub>176</sub> و E<sub>126</sub> حذف شده است. همچنین پایداری حرارتی آنزیم BAA، وابستگی زیادی به یون کلسیم دارد. در این پژوهش، اثر پل نمکی در پایداری حرارتی آنزیم بررسی شد. برای مشخص شدن اهمیت ساختاری و عملکردی پل نمکی، ابتدا مدل مولکولی جهش یافته  $\Delta E_{126}$  به شکل توری ساخته شده و سپس موقعیت و آثار آمینواسیدهای دو منطقه I و II با برنامه های WHAT IF و GETAREA بررسی شد؛ پس از آن، جهش گفته شده با جهش زایی هدفمند در ژن BAA ایجاد و پایداری حرارتی آنزیم جهش یافته و وحشی با هم مقایسه شد. نتایج بدست آمده از مدل مولکولی نشان داد که وجود پل نمکی با اثر بر آمینواسیدهای آب دوست و آب گریز موجود در دو منطقه I و II، جلوی نفوذ پذیری آنزیم به آب، خروج کلسیم و غیرفعال شدن حرارتی آنزیم را می گیرد. پایداری حرارتی آنزیم وحشی نسبت به سایر جهش یافته ها نیز نتایج بالا را تأیید کرد.

**کلید واژگان:**  $\alpha$ -آمیلاز *B. amyloliquefaciens* (BAA)، جهش زایی هدفمند، پایداری حرارتی، پل نمکی، لوپ.

شد و آنزیم جهش یافته و وحشی از لحاظ پایداری حرارتی مقایسه شدند.

**BAA** 117 E V N P A N R N Q E T S E E Y  
**BLA** 119 E V D P A D R N R V I S G E H  
**BAA** 171 R I F K F R G E G K A W  
**BLA** 172 R I Y K F Q G - - K A W

شکل ۱ همدیفسازی توالی آمینواسیدی پیرامون باقی‌مانده‌های آمینواسیدی  $\text{Glu}_{126}$  و  $\text{BLA}$  در  $\text{BAA}$  (PDB Code 3BH4) و  $\text{Arg}_{176}$  (PDB Code 1BLI).

## ۲- مواد و روش‌ها

### ۱-۱- مواد شیمیابی

اولیگو‌نوکلئوتیدهای مورد نیاز در شرکت MWG آلمان سترز شد. کیت استخراج DNA ژنومی از شرکت Real DNA Polymerase (PWO) Biotech تایوان و آنزیم (from *Pyrococcus Woesei*) از شرکت Roche آلمان خردباری شد. آنزیم‌های برش دهنده،  $T_4$  لیگاز، (Isopropyl- $\beta$ -D-1 thiogalacto Pyranoside)، Dpn1 IPTG و محلول‌های مورد نیاز برای PCR از شرکت Novagen و وکتور pET21a از شرکت Amersham آمریکا خردباری شد. Fermentase Ni-NTA آگاراز از *Escherichia coli* XL1 Blue. از شرکت Stratagene آمریکا (DE3) تهیه گردید.

### ۲-۲- ساخت مدل

پس از ایجاد جهش در آنزیم (PDB Code 3BH4)  $\text{BAA}$  و  $\text{Glu}_{126}$  از Swiss-Model Protein Modeling Server برای ساخت مدل استفاده شد [۹]. برای ارزیابی مدل (Root Mean Square Deviation) ساخته شده، محاسبه RMSD بعد از جفت شدن (Iterative fitting) و انطباق

## ۱- مقدمه

در میان آنزیم‌های مؤثر بر نشاسته،  $\alpha$ -آمیلاز (E.C 3.2.1.1) اهمیت ویژه‌ای دارد [۱] و به‌گونه‌ی گسترده‌ای بررسی شده است [۲]. هم‌ر迪فسازی توالی آمینواسیدهای  $\alpha$ -آمیلازهای *B. amyloliquefaciens* (BLA) و *B. licheniformis* (BAA) ۸۰ درصد (Similarity) و ۸۷ درصد شباهت (Identity) نشان می‌دهد. ساختارهای x-ray [۴] این آنزیم نشان داده که کلسیم، عامل بسیار مهمی در درستی ساختار، پایداری حرارتی و فعالیت آنزیمی می‌باشد [۵,۶].

مطالعات پیشین نشان داده که لوب موجود در دو آنزیم که شامل باقی‌مانده‌های آمینواسیدی ۱۷۷-۱۸۵ (ناحیه I) است، سازنده بخشی از محفظه (Cage) متصل به کلسیم است [۷,۶,۳] و افزایش آب‌گریزی و تغییر در بار باقی‌مانده‌های آمینواسیدی لوب، سبب افزایش پایداری  $\text{BAA}$  در آنزیم می‌شود [۸]. ناحیه I در آنزیم BLA (دو اسید‌آمینه  $\text{Glu}_{178}$ ,  $\text{Gly}_{179}$ ) بیشتر از دارد؛ از طرفی  $\text{Arg}_{176}$  موجود در این ناحیه یک برهمنکش یونی با  $\text{Glu}_{126}$  از ناحیه II (باقی‌مانده‌های ۱۳۱-۱۱۸) دارد که این برهمنکش در BLA به خاطر جایگزینی‌های  $\text{Arg}_{176}\text{Gln}$  و  $\text{Glu}_{126}\text{Val}$  حذف شده است [۴].

برای بررسی نقش برهمنکش یونی بالا در پایداری ساختاری و حرارتی آنزیم  $\text{BAA}$ ، مدل مولکولی آنزیم جهش یافته  $\Delta\text{E}_{126}$  ساخته و موقعیت و اثرگذاری باقی‌مانده‌های آمینواسیدی مختلف در ساختار وحشی با مدل جهش یافته مقایسه شد، سپس جهش گفته شده با روش جهش‌زاویی هدفمند (Site-directed mutagenesis) روی ژن  $\text{BAA}$  ایجاد

0/01: ۵ پیتون، 3 عصاره گوشت، 15 آگار و 0.5% *Bacillus amyloliquefaciens* در محیط کشت شامل  $MnSO_4 \cdot H_2O$  در دمای  $30^{\circ}C$  کشت داده شد. سویه LB در 12 ساعت در محیط کشت *Escherichia coli* (Luria Bertani) در  $37^{\circ}C$  [12] کشت داده شد.

### 3-4- کلون کردن ژن BAA در pET21a

DNA ژنومی به وسیله کیت استخراج DNA ژنومی جداسازی شد. در طراحی پرایمرها، توالی کدکننده پیتید سیگنالدهنده، (Signal peptide) حذف و جایگاه برش آنزیم‌های برش دهنده (*NdeI* (Restriction site) و *NotI* به ترتیب در 5' و 3' قرار داده شد.

N-5'GGATTCCATATGGTAAACGGTACGCTGATGCCAG-3' (forward)

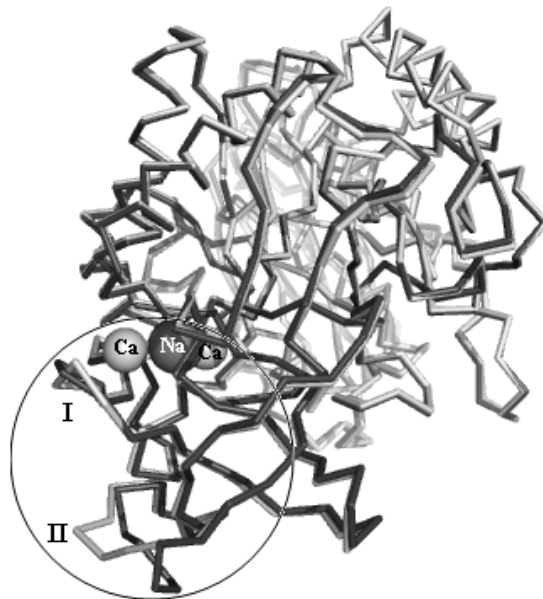
C-5'ATAAGAATGCCCGCTTCGAACATAATGGAGACGG-3' (reverse)

ژن  $\alpha$ -آمیلاز با استفاده از DNA خالص شده با روش واکنش زنجیره پلیمراز (PCR) تکثیر شد. محصول PCR با آنزیم‌های برش دهنده *NdeI* و *NotI* هضم و با آنزیم *T4DNase* لیگاز به pET21a دارای جایگاه برش (در دمای  $37^{\circ}C$  به مدت 12 ساعت) وصل شد [13]. سپس مخلوط به *E.coli* XL1 Blue انتقال داده شد [14]. برای تأیید مراحل کلون‌سازی، محصول به وسیله‌ی شرکت MWG آلمان با پرایمرهای پیشرو و خاتمه T<sub>7</sub> تعیین توالی شد.

### 5- جهش زایی هدفمند

جهش زایی هدفمند با روش QuikChange [15]. یک جفت اولیگونوکلئوتید با توالی‌های زیر طراحی شد:

مولکول وحشی و جهش یافته (شکل 2) انجام شد. سطح دردسترس حلال برای باقی مانده‌های آمینواسیدی مختلف با برنامه GETAREA [10] تعیین شد. علاوه بر این، ساختار پروتئین وحشی و نمونه جهش یافته با برنامه WHAT IF [11] ارزیابی شد.



شکل 2 مدل انطباق مولکولی آنزیم BAA وحشی (سیاه) و جهش یافته (خاکستری) که بر اساس ساختار *B.amyloliquefaciens*  $\alpha$ -amylase بدست آمده (رشته A) و نواحی I و II در آن نشان داده شده است. شکل‌ها با برنامه Pymol 0.99v طراحی شده است.

### 3-2- انواع سویه‌های باکتری، پلاسمید و شرایط رشد

(ATCC 23350) *Bacillus amyloliquefaciens* جداسازی شده از نمونه‌های خاک، از مرکز جمع‌آوری باکتری‌ها و قارچ‌های صنعتی ایران تهیه شد. *E. coli* BL 21 (DE3) و *Escherichia coli* XL1 Blue به ترتیب به عنوان میزان کلونینگ و بیان استفاده شد. محصول PCR در وکتور بیانی (+) pET 21a کلون شد.

سونیکاتور در بافر شامل  $50\text{ mM Tris-HCl}$ ،  $50\text{ mM NaCl}$ ،  $50\text{ mM CaCl}_2$  و  $50\text{ mM pH}=7/5$  در  $4^{\circ}\text{C}$  لیز شد. باقیمانده‌های سلولی به وسیله سانتریفوژ ( $15\text{ min}$ ،  $6000\text{ g}$ ) جمع آوری شده و در بافر لیزکننده ( $50\text{ mM Tris-HCl}$ ) در  $4^{\circ}\text{C}$   $2$  ساعت در دمای اتاق انکوبه شد. محصول با دیالیز متوالی در غلظت‌های  $1, 2, 3$  و  $4$  مولار اوره تاخوردگی مجدد شد. باقیمانده‌های سلولی به وسیله سانتریفوژ ( $10000\text{ g}$  در  $4^{\circ}\text{C}$ ،  $20$  دقیقه) در  $4^{\circ}\text{C}$  زدوده شده و محلول رویی برای مراحل خالص‌سازی استفاده شد. نمونه به دست آمده به وسیله ستون Ni-NTA آگارز با روش Amersham Bioscience خالص‌سازی شد.

#### 7- تعیین فعالیت آنزیمی و غلظت پروتئین

$\alpha$ -آمیلاز در دمای  $37^{\circ}\text{C}$  با استفاده از نشاسته سیب‌زمینی به عنوان سویسترا در بافر شامل  $50\text{ mM Tris-HCl}$ ،  $50\text{ mM NaCl}$ ،  $50\text{ mM CaCl}_2$  و  $10\text{ mM pH}=7/5$  در  $37^{\circ}\text{C}$  سنجش شد. غلظت قندهای احیاکننده به دست آمده از واکنش کاتالیز آنزیمی به وسیله دی‌نیتروسالیسیلیک اسید به روش برنفیلد [16] اندازه‌گیری شد. غلظت پروتئین با روش لوری [17] تعیین شد.

#### 8- غیرفعال شدن حرارتی آنزیم‌ها

آنزیم BAA خالص، وحشی و جهش‌یافته، در بافر حاوی  $10\text{ mM CaCl}_2$ ،  $50\text{ mM NaCl}$ ،  $50\text{ mM Tris-HCl}$  در  $pH=7/5$  و در دمای  $80^{\circ}\text{C}$  در مدت زمان‌های متفاوت انکوبه شدند. نمونه‌ها بعد از سرد شدن در بخش سنجش شده و فعالیت باقی‌مانده آن‌ها در دمای  $37^{\circ}\text{C}$

$\Delta\text{Glu126 forward}:$

5-GGCCAATAGAAATCAG|ACTTCGGAGGAATATC-3'

$\Delta\text{Glu126 reverse}:$

5-GATATTCCCTCGAAGT|CTGATTCTATTGGCC-3'

مخلوط PCR در حجم نهایی  $50\text{ }\mu\text{l}$  شامل:  $0/2\text{ }\mu\text{g}$  DNA از PCR الگو،  $10\text{ }\mu\text{M}$  بافر PCR از هر پرایمر،  $0/2\text{ mM}$  dNTP و آنزیم PWO پلی‌مراز (1/25 unit) بود. مخلوط در  $95^{\circ}\text{C}$ ،  $5$  دقیقه حرارت داده شد و سپس در  $22^{\circ}\text{C}$  دمایی در  $1$  دقیقه، در  $68^{\circ}\text{C}$ ،  $13$  دقیقه قرار داده شد. برای هضم رشتہ الگو، محصول PCR همراه DpnI بود. محصول پس از  $2$  ساعت در  $37^{\circ}\text{C}$  انکوبه شد. محصول پس از انتقال داده شد و خالص‌سازی به E.coli XL1 Blue پنج کلونی به صورت تصادفی انتخاب و برای تأیید جهش، تعیین توالی شد.

#### 6- بیان و خالص‌سازی پروتئین وحشی و جهش‌یافته

E.coli BL 21 (DE3) پلاسمید بیانی ساخته شده به انتقال داده شد. باکتری‌های حامل ژن BAA وحشی و جهش‌یافته در دمای  $37^{\circ}\text{C}$ ،  $12$  ساعت در  $10\text{ ml}$  محیط کشت LB دارای  $100\text{ mg/ml}$  آمپیسیلین رشد داده شد. در ادامه  $1500\text{ }\mu\text{l}$  از کشت شبانه به  $300\text{ ml}$  محیط کشت تازه افزوده شد. پس از رسیدن OD<sub>600</sub> به  $0/6$ ، IPTG در غلظت نهایی  $1/5\text{ mM}$  به محدوده  $0/6$  می‌افزوده شد. محیط کشت افزوده و  $12$  ساعت در  $22^{\circ}\text{C}$  انکوبه شد. سلول‌های کشت‌یافته به وسیله سانتریفوژ مدل Hettich Rotina 380R Benchtop Centrifuge ( $4^{\circ}\text{C}$ ،  $15$  دقیقه) در  $5000\text{ g}$  جمع آوری و به وسیله

از حذف  $\text{Glu}_{126}$ ,  $\text{Arg}_{176}$  تنها با  $\text{Glu}_{130}$  برهم کنش دارد (شکل 3).  $\text{Glu}_{126}$  از نظر موقعیت مکانی تقریباً در نیمهٔ ناحیه I (باقی مانده‌های آمینواسیدی 118-131) قرار گرفته است و از نظر فاصله به  $\text{Arg}_{176}$  نزدیک‌تر است و همان‌گونه که در ساختار مدل مشاهده می‌شود (شکل 3) این اسید‌آمینه نقش مؤثرتری در کشیدگی ناحیه I به سمت II داشته و  $\text{Glu}_{130}$  که در فاصله بیشتری از  $\text{Arg}_{176}$  قرار گرفته و برهم کنش ضعیفتری با آن دارد، نقش بسیار کمی ایفا می‌کند.

در بررسی‌های پیشین نیز نشان داده شد که وجود برهم کنش گفته شده از طریق کاهش انعطاف‌پذیری نواحی I و II در پایداری حرارتی آنزیم مؤثر است [18].

با بررسی دقیق مدل‌ها، چرخش چشم‌گیری در باقی مانده‌های آمینواسیدی آب‌دوست و آب‌گریز دو ناحیه I و II مشاهده می‌شود. این شرایط با محاسبه سطح در دسترس برای هر باقی مانده آمینواسیدی و زنجیر جانبی اش با برنامه GETAREA [10] در مدل پروتئینی وحشی و جهش‌یافته (جدول 2) نشان داده شده است. بر این اساس در ناحیه II در اثر جهش، سطح در دسترس باقی مانده‌های آمینواسیدی آب‌دوست، افزایش یافته است که برای نمونه، چرخش خارجی آنزیم است. باقی مانده‌های آمینواسیدی این ناحیه تا حد زیادی در بخش سطحی آنزیم است و عموماً میزان آب‌گریزی و در دسترس بودن آمینواسیدها باهم رابطه معکوس دارد [19]؛ بنابراین حضور پل نمکی در آنزیم وحشی، باقی مانده‌های آب‌دوست را به داخل آنزیم جهت داده است.

اندازه‌گیری شد. منحنی درصد فعالیت باقیمانده آنزیم‌ها در برابر زمان (شکل 4) رسم شد.

### 3- یافته‌ها و بحث

#### 3-1- مدل‌سازی کامپیوتروی

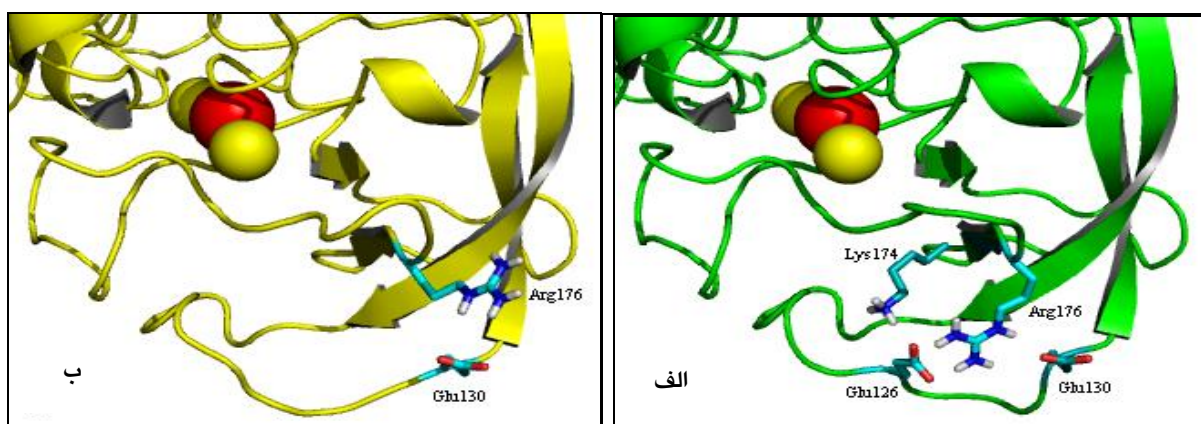
پس از ساخت مدل جهش‌یافته، برای ارزیابی آن و بررسی شباهت ساختار سه‌بعدی دو مولکول، RMSD، کثوردناسیون‌های اتمی  $\text{C}_\alpha$  اندازه‌گیری شد. بر این اساس، ساختار پروتئین وحشی و جهش‌یافته از لحاظ انرژی و موقعیت فضایی باقی مانده‌های آمینواسیدی، بهینه‌سازی، جفت و بر هم منطبق شد. نتایج به دست‌آمده (جدول 1) نشان‌دهنده بهینه بودن مدل ایجاد شده است.

جدول 1 RMSD به دست‌آمده از انطباق مولکولی آنزیم وحشی و جهش‌یافته برای  $\text{C}_\alpha$  و اسکلت کربنی در نواحی I و II.

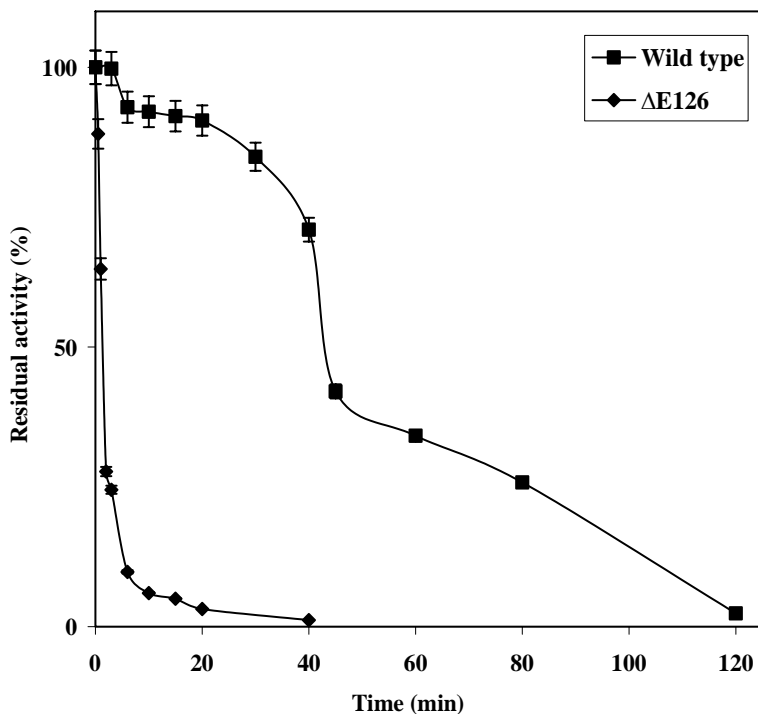
RMSD ( $\text{\AA}$ )		
Regions	$\text{C}_\alpha$	Backbone
I <sub>170</sub> -G <sub>180</sub> (I)	3/07	0/55
N <sub>120</sub> -E <sub>131</sub> (II)	3/03	0/66

#### 3-2- ارزیابی و مقایسه مدل آنزیمی وحشی و جهش‌یافته

ساختار آنزیم وحشی و نمونه جهش‌یافته در مدل‌های تئوری با برنامه WHAT IF [11] مقایسه شد. این مقایسه نشان داد که در مدل وحشی، اسید‌آمینه  $\text{Arg}_{176}$  دارای دو برهم کنش یونی با  $\text{Glu}_{126}$  و  $\text{Glu}_{130}$  است و نیز با  $\text{Arg}_{174}$  و  $\text{Lys}_{176}$  برهمکنش دارد؛ اما بعد



شکل ۳ الف - پل نمکی به دست آمده از برهم‌کنش Arg<sub>176</sub> با Glu<sub>126</sub> و Glu<sub>130</sub> و نیز Glu<sub>126</sub> با Arg<sub>176</sub> و Lys<sub>174</sub> در آنزیم وحشی.  
ب - برهم‌کنش یونی بین Arg<sub>176</sub> و Glu<sub>130</sub> در آنزیم جهش یافته، کره قرمز، یون سدیم و زرد، یون کلسیم را نشان می‌دهد.



شکل ۴ غیرفعال شدن دمایی آنزیم BAA وحشی (■) و جهش یافته (◆) در بافر 50 mM NaCl .50 mM Tris-HCl pH=7/5 در 80°C در حضور 10mM CaCl<sub>2</sub>. انحراف استاندارد مقادیر عددی حدود ۵ درصد به دست آمد.

بعد از جهش، به خاطر چرخش باقیمانده‌های آمینواسیدی آب‌دوست منطقه II به سطح خارجی آنزیم، نفوذپذیری این ناحیه به آب بیشتر شده و سبب ورود آب به حفره ایجادشده در حد فاصل منطقه I و II می‌شود. حفره ایجادشده، حاصل کاهش فشردگی منطقه در اثر حذف پل نمکی است؛ زیرا برهم‌کنش Arg<sub>126</sub> و Glu<sub>126</sub> سبب کشیدگی منطقه II به سمت I و فشردگی موضعی در آنزیم می‌شود. این نبود فشردگی حاصل از جهش، خود سبب نفوذپذیری ناحیه I به آب می‌شود. حذف Glu<sub>126</sub> به خاطر کاهش کشیدگی در Arg<sub>176</sub> باعث چرخش اسکلت کربنی آنزیم در ناحیه لوب و کاهش برهم‌کنش‌های آب‌گریز در سطح داخلی آن می‌شود و از آنجا که بخشی از باقیمانده آمینواسیدی موجود در لوب، سازنده محفظه اتصال کلسیم به آنزیم است، تغییرات گفته شده بعد از جهش، به‌ویژه در دماهای بالا که آنتروپی مولکول‌های آب زیاد است، سبب نفوذ آب به منطقه I و خروج کلسیم می‌شود و چون غیرفعال شدن حرارتی برگشت‌ناپذیر آنزیم BAA یک سازوکار وابسته به کلسیم است [18]، حذف برهم‌کنش سبب ناپایداری حرارتی آنزیم BAA می‌شود.

در مجموع، برهم‌کنش یونی Arg<sub>176</sub> و Glu<sub>126</sub> با اثر بر باقیمانده‌های آمینواسیدی آب‌دوست و آب‌گریز دو منطقه I و II و ایجاد فشردگی در ساختار، در پایداری حرارتی آنزیم BAA نقش حیاتی دارد. نتایج این مطالعه نشان می‌دهد که حتی تغییر یک اسید‌آمینه می‌تواند شبکه یونی و در نتیجه ساختار آنزیم را تغییر داده و بر پایداری ساختاری و حرارتی آن مؤثر باشد.

در ناحیه I یا لوب نیز سطح در دسترس باقیمانده‌های آمینواسیدی آب‌دوست و آب‌گریز افزایش یافته است. با توجه به این‌که در لوب‌ها عموماً آب‌گریزی سطح داخلی بالاست [20]، تغییرات بر جسته‌ای که در آمینواسیدهای Arg<sub>176</sub> (چرخش به خارج لوب و کاهش کشش) و Lys<sub>175</sub> (چرخش به داخل لوب) بعد از جهش رخ داده، سبب کاهش برهم‌کنش‌های آب‌گریز در سطح داخلی لوب و گسترش فاصله بین دو منطقه (I و II) می‌شود (شکل 3)؛ در حالی که یکی از ویژگی‌های چشم‌گیر در ساختارهای پروتئینی، فشردگی آن‌ها است [21 و 22].

در مجموع، جهش، سبب نفوذپذیری بیشتر منطقه II به آب و هدایت آن از طریق حفره ایجادشده بین دو منطقه، به سمت ناحیه I شده و خروج کلسیم را سبب می‌شود.

### 3-3- غیرفعال شدن حرارتی

دناتوراسیون حرارتی آنزیم‌ها، عموماً با تخریب اتصالات غیرکووالان شامل برهم‌کنش‌های آب‌گریز انجام می‌شود [23]. برای درک نقش پل نمکی بین Arg<sub>176</sub> و Glu<sub>126</sub> در مدل تئوری، سرعت غیرفعال شدن دمایی آنزیم وحشی و جهش یافته در دمای 80°C در حضور 10 mM CaCl<sub>2</sub> تعیین شد. همان طور که در منحنی 4 نشان داده شده، آنزیم وحشی و جهش یافته به ترتیب نیمه‌عمرهای برابر 43 و 1/2 دقیقه دارند که نشان‌دهنده حساسیت بالای آنزیم جهش یافته به حرارت است.

جدول ۲ درصد سطح در دسترس باقی مانده‌های آمینواسیدی مدل آنزیمی وحشی و جهش یافته در نواحی I و II.

Residues (Region I)	Ratio(%) In/Out				Residues (Region II)	Ratio(%) In/Out			
	Wild-type		Mutant			Wild-type		Mutant	
Ile <sub>172</sub>	21/1		13/8	i	Thr <sub>114</sub>	51/8	o	22/1	
Phe <sub>173</sub>	0/00	i	0/00	i	Ala <sub>115</sub>	0/00	i	0/00	i
Lys <sub>174</sub>	15/7	i	21/4		Val <sub>116</sub>	0/20	i	6/00	i
Phe <sub>175</sub>	0/00	i	0/00	i	Glu <sub>117</sub>	21/0		43/3	
Arg <sub>176</sub>	34/4		62/9	o	Val <sub>118</sub>	0/00	i	0/00	i
Gly <sub>177</sub>	46/6		17/6	i	Asn <sub>119</sub>	27/9		62/1	o
Glu <sub>178</sub>	100	o	74/4	o	Pro <sub>120</sub>	77/0	o	86/1	o
Gly <sub>179</sub>	69/4		91/4	o	Ala <sub>121</sub>	91/2	o	100	o
Lys <sub>180</sub>	6/50	i	1/00	i	Asn <sub>122</sub>	45/1		53/6	o
Ala <sub>181</sub>	83/6	o	81/1	o	Arg <sub>123</sub>	7/50	i	6/40	i
Trp <sub>182</sub>	3/40	i	5/60	i	Asn <sub>124</sub>	55/2	o	74/9	o
Asp <sub>183</sub>	0/00	i	0/00	i	Gln <sub>125</sub>	51/1	o	19/5	i
Trp <sub>184</sub>	71/9	o	59/9	o	Glu <sub>126</sub>	38/0		-	-
Glu <sub>185</sub>	27/7		25/4		Thr <sub>127</sub>	35/0		100	o
Val <sub>186</sub>	0/10	i	0/00	i	Ser <sub>128</sub>	18/9	i	68/0	o
Ser <sub>187</sub>	0/80	i	1/50	i	Glu <sub>129</sub>	92/0	o	59/6	o
Ser <sub>188</sub>	66/0		53/5	o	Glu <sub>130</sub>	55/6	o	43/0	

- content of  $\alpha$ -amylases of various origins. *J. Biol. Chem.* 234, 2901-2905.
- [6] Machius, M., Wiegand, G., Huber, R. (1995) Crystal structure of calcium depleted *Bacillus licheniformis*  $\alpha$ -amylase at 2.2 Å resolution. *J. Mol. Biol.* 246, 545-559.
- [7] Declerck, N., Machius, M., Wiegand, G., Huber, R., Gaillardin, C. (2000) Probing structural determinants specifying high thermostability in *Bacillus licheniformis* alpha-amylase. *J. Mol. Biol.* 301, 1041-1057.
- [8] Suzuki, Y., Ito, N., Yuuki, T., Yamagata, H., Ueda, S. (1989) Amino acid residues stabilizing a *Bacillus* alpha-amylase against irreversible thermoinactivation. *J. Biol. Chem.* 264, 18933-18938.
- [9] Schwede, T., Kopp, J., Guex, N., Peitsch, M.C. (2003) SWISS-MODEL: an automated protein homology-modeling server. *Nucl. Acids. Res.* 31, 3381-3385.
- [10] Fontana, A., Zambonin, M., de Filippis, V., de Laureto, P.P. (1995) Limited proteolysis of cytochrome c in trifluoroethanol. *FEBS. Lett.* 362, 266-270.
- [11] Vriend, G. (1990) WHAT IF: A molecular modeling and drug design program. *J. Mol. Graph.* 8, 52-56.

## - 4 - مراجع

- [1] Nielsen, J.E., Borchert, T.V. (2000) Protein engineering of bacterial  $\alpha$ -amylases. *Biochim. Biophys. Acta.* 1543, 253-274.
- [2] MacGregor, E.A., Janecek, S., Svensson, B. (2001) Relationship of sequence and structure to specificity in the  $\alpha$ -amylase family of enzymes. *Biochim. Biophys. Acta.* 1546, 1-20.
- [3] Machius, M., Declerck, N., Huber, R., Wiegand, G. (1998) Activation of *Bacillus licheniformis*  $\alpha$ -amylase through a disorder→order transition of the substrate-binding site mediated by calcium-sodium-calcium metal triad. *Structure.* 6, 281-292.
- [4] Alikhajeh, J., Khajeh, K., Ranjbar, B., Naderi-Manesh, H., Lin, Y. H., Liu, E., Guan, H.H., Hsieh, Y.C., Chuankhayan, P., Huang, Y.C., Jeyaraman, J., Liu, M.Y., Chen, C.J. (2010) The Crystal Structure of *Bacillus amyloliquefaciens*  $\alpha$ -amylase at High Resolution: Implications for Thermal Stability. *Acta. Crystallogr. Sect. F. Struct. Biol. Cryst. Commun.* 66, 121-129.
- [5] Vallee, B.L., Stein, E.A., Sumerwell, W.N., Fischer, E. H. (1959) Metal

- stability of  $\alpha$ -amylase of *B. amyloliquefaciens* (BAA). *J. Microbiol. Biotechnol.* 23, 7-14.
- [19] Samanta, U., Bahadur, R.P., Chakrabarti, P. (2002) Quantifying the accessible surface area of protein residues in their local environment. *Protein. Eng.* 15, 659-667.
- [20] Hirakawa, H., Kuhara, S. (1999) The hydrophobic cores of proteins predicted by wavelet analysis. *Bioinformatics.* 15, 141-148
- [21] Chothia,C. Structural invariants in protein folding. (1975) *Nature.* 254, 304–308.
- [22] Richards, F.M. (1977) Areas, volumes, packing and protein structure. *Annu. Rev. Biophys. Bioeng.* 6, 151–176.
- [23] Daniel, R.M. (1996) the upper limits of enzyme thermal stability. *Enzyme. Microb. Tech.* 19, 74-79.
- [24] Tanaka, A., Hoshino, E. (2002) Calcium-binding parameter of *Bacillus amyloliquefaciens*  $\alpha$ -amylase determined by inactivation kinetics. *Biochem. J.* 364, 635-639.
- [12] Sambrook, J., Fritsch, E. F. and Maniatis, T. (1989) *Molecular Cloning: A Laboratory Manual.* Cold Spring Harbor, New York: Cold Spring Harbor Laboratory Press.
- [13] Haghani, K., Khajeh, Kh., Naderi-Manesh, H., Ranjbar, B. 2012. Evidence regarding the hypothesis that the histidine-histidine contact pairs may affect protein stability. *Int. J. Biol. Macromol.* 50: 1040-1047.
- [14] Chung, C.Y., Niemela, S.L. and Miller, R.H. (1989) One-step preparation of competent *Escherichia coli*: transformation and storage of bacterial cells in the same solution. *Proc. Natl. Acad. Sci. USA.* 86, 2172-2175.
- [15] Fisher, C.L., Pei, G.K. (1997) Modification of a PCR-based site-directed mutagenesis method. *Bio Techniques.* 23, 570-574.
- [16] Bernfeld, P. (1955) Amylase,  $\alpha$  and  $\beta$ . *Methods. Enzymol.* 1, 149-151.
- [17] Lowry, O.H., Rosebrough, N.J., Farr, A.L., Randall, R.J. (1951) Protein measurement with folin phenol reagent. *J. Biol. Chem.* 193, 265-275.
- [18] Zonouzi, R., Khajeh, K., Monajjemi, M., Ghaemi, N. (2013) the role of salt bridge between Arg<sub>176</sub> and Glu<sub>126</sub> in the thermal